

Streaming de áudio e vídeo a pedido e em tempo real

12 de Outubro, 2023

Grupo 48

Bernard Georges
Universidade do Minho
pg53698

José Pedro Fonte
Universidade do Minho
a91775

Vasco Oliveira
Universidade do Minho
pg54269

RESUMO

O presente relatório aborda o trabalho prático desenvolvido no âmbito do estudo da pilha protocolar envolvida no streaming de áudio e vídeo. Assim sendo, o grupo utilizou várias ferramentas open-source e formatos de multimédia para explorar os diferentes empacotamentos e protocolos de transporte.

1 | Introdução

No contexto das redes de computadores, a comunicação é organizada em camadas para facilitar a transmissão eficiente de dados. Essas camadas, definidas tanto pelo Modelo OSI (Open Systems Interconnection) quanto pelo Modelo TCP/IP, proporcionam estruturas modulares para entender o processo de comunicação em redes. Cada camada tem funções específicas e comunica com as camadas adjacentes para garantir uma entrega precisa e confiável dos dados. Neste trabalho foi estudada principalmente a camada de Aplicação (Application Layer), esta camada interage diretamente com as aplicações do usuário. Ela fornece serviços de rede específicos para as necessidades das aplicações, como correio eletrônico, navegação na web e transferência de arquivos.

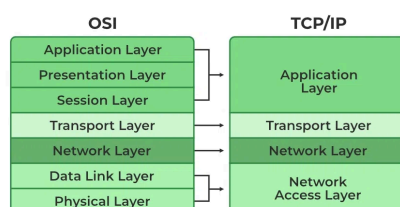


Figura 1: Modelo OSI & Modelo TCP/IP.

1.1.1 | Ferramentas Open-Source utilizadas:

- Core Network Emulator : O CORE é um emulador utilizado para construir e estudar redes virtuais.
- WireShark : O Wireshark é um programa que analisa e organiza o tráfego de rede por protocolos.
- FFmpeg : O FFmpeg é um software que grava, converte e cria stream de áudio e vídeo em diversos formatos de multimédia.
- VideoLAN VLC : O VLC media player é um software media player portátil gratuito e de código aberto, multiplataforma, e servidor de media de streaming.
- OBS Studio : O OBS é um software de gravação e transmissão ao vivo que fornece captura de fonte e dispositivo em tempo real, composição de cena, codificação, gravação e transmissão.

2 | Trabalho Desenvolvido

No arranque do trabalho prático o grupo dedicou-se à construção de uma topologia de rede, estruturando-a de acordo com os requisitos especificados no enunciado. Assim sendo, a topologia apresentada na Figura 2 serviu de base para todo o tráfego analisado.

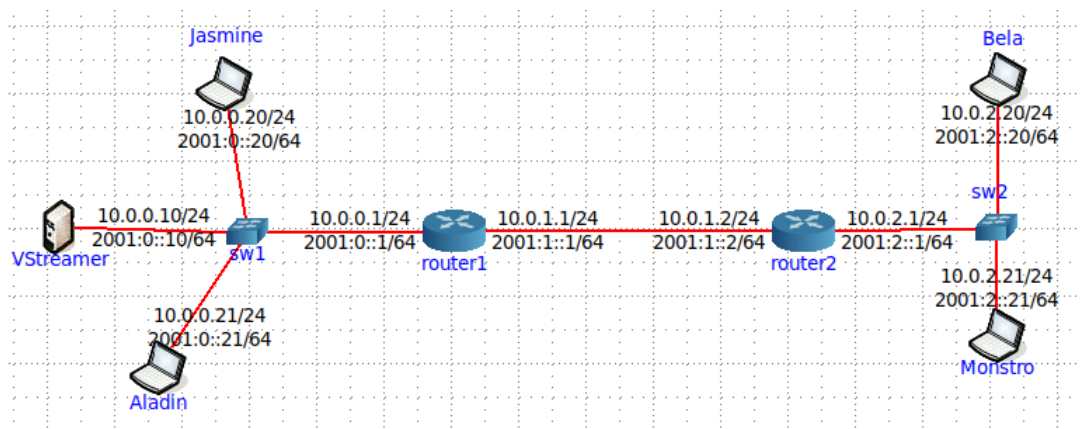


Figura 2: Topologia de Rede construída

Topologia da Rede construída e representada na Figura 2.

- **LAN 1**
 - 10.0.0.20/24 - Jasmine [PC]
 - 10.0.0.21/24 - Aladin [PC]
 - 10.0.0.10/24 - VStreamer [Servidor]
- **Routers**
 - 10.0.0.1/24 - router1 (eth0)
 - 10.0.1.1/24 - router1 (eth1)
 - 10.0.1.2/24 - router2 (eth0)
 - 10.0.2.1/24 - router2 (eth1)
- **LAN 2**
 - 10.0.2.20/24 - Bela [PC]
 - 10.0.2.21/24 - Monstro [PC]

O trabalho desenvolvido está dividido em três etapas, em conformidade com o enunciado, sendo estas:

- Etapa 1 - Streaming HTTP simples sem adaptação dinâmica de débito:

Nesta fase inicial, o foco é estabelecer um método simples de transmitir conteúdo de mídia pela internet. Não há adaptação às condições da rede, tornando a entrega de media mais estática.

- Etapa 2 - Streaming adaptativo sobre HTTP (MPEG-DASH):

Na segunda etapa, o projeto avança para o uso do MPEG-DASH, um padrão que permite que o cliente ajuste dinamicamente a qualidade do vídeo com base na largura de banda disponível.

- Etapa 3 - Streaming RTP/RTCP unicast sobre UDP e multicast com anúncios SAP:

Nesta fase mais avançada, o projeto envolve a implementação de streaming em tempo real (RTP) e seu protocolo de controle (RTCP) para comunicação direta com destinatários individuais (unicast) e também explora a entrega multicast (um-para-muitos) com a inclusão de anúncios SAP.

2.1 | Etapa 1 - Streaming HTTP simples sem adaptação dinâmica de débito

A etapa 1 teve como objetivo estudar o streaming por HTTP simples sem adaptação do débito. Nesta etapa o VLC é usado simultaneamente como servidor de streaming e como cliente. Depois são acrescentados mais dois clientes (firefox e ffplay) e estuda-se o impacto no tráfego da rede.

Questão 1 - Capture três pequenas amostras de tráfego no link de saída do servidor, respectivamente com 1 cliente (VLC), com 2 clientes (VLC e Firefox) e com 3 clientes (VLC, Firefox e ffplay).

O grupo conduziu o trabalho de maneira sequencial e cumulativa, o que implica que clientes foram adicionados gradualmente e a rede foi analisada passo a passo. De notar que todas as capturas de tela foram obtidas do servidor *VStreamer*.

O primeiro passo foi iniciar o streaming entre o *VLC Server* no *VStreamer* e o *VLC Client* na *Jasmine*, que a Figura 3 mostra.

No início, é evidente a presença de tráfego contendo pacotes *OSPF* e *ARP*. Conforme ensinado na disciplina de Redes de Computadores, o OSPF (Open Shortest Path First) desempenha o papel de um protocolo de roteamento interno, responsável por calcular as rotas mais eficientes em redes IP. Por sua vez, o ARP (Address Resolution Protocol) tem a função de mapear endereços IP nos correspondentes endereços MAC em redes locais, possibilitando a comunicação entre dispositivos dentro da mesma sub-rede.

Nas linhas seguintes, podemos observar o tráfego entre os endereços IP 10.0.0.10 (*VStreamer*) e 10.0.0.20 (*Jasmine*). Esse tráfego inicia com um procedimento de *3-way handshake*, que estabelece a conexão TCP, seguido por um pedido HTTP (GET Request) para receber os pacotes de vídeo. Nas linhas subsequentes, ocorre a transferência contínua de pacotes da stream por meio do canal de comunicação criado entre o Servidor e o Cliente.

No.	Time	Source	Destination	Protocol	Length	Info
25	37.085409879	10.0.0.1	224.0.0.5	OSPF	78	Hello Packet
26	39.085768113	10.0.0.1	224.0.0.5	OSPF	78	Hello Packet
27	39.897973535	00:00:00:aa:00:01	Broadcast	ARP	42	Who has 10.0.0.10? Tell 10.0.0.20
28	39.897993759	00:00:00:aa:00:00	00:00:00:aa:00:01	ARP	42	10.0.0.10 is at 00:00:00:aa:00:00
29	39.897998239	10.0.0.20	10.0.0.10	TCP	78	35706 → 8080 [SYN] Seq=0 Win=64240 Len=0 MSS=1460 SACK_PERM=1
30	39.898008441	10.0.0.10	10.0.0.20	TCP	74	8080 → 35706 [SYN, ACK] Seq=0 Ack=1 Win=65160 Len=0 MSS=1460
31	39.898016970	10.0.0.20	10.0.0.10	TCP	66	35706 → 8080 [ACK] Seq=1 Ack=1 Win=64256 Len=0 TSval=42030444
32	39.89802377	10.0.0.20	10.0.0.10	HTTP	200	GET / HTTP/1.1
33	39.89808851	10.0.0.10	10.0.0.20	TCP	66	8080 → 35706 [ACK] Seq=1 Ack=135 Win=65152 Len=0 TSval=316444
34	39.920158702	10.0.0.10	10.0.0.20	TCP	169	8080 → 35706 [PSH, ACK] Seq=1 Ack=135 Win=65152 Len=103 TSval=...
35	39.920189610	10.0.0.10	10.0.0.10	TCP	66	35706 → 8080 [ACK] Seq=135 Ack=104 Win=64256 Len=0 TSval=4203
36	39.920241764	10.0.0.10	10.0.0.20	TCP	1514	8080 → 35706 [ACK] Seq=104 Ack=135 Win=65152 Len=1448 TSval=3
37	39.920241874	10.0.0.10	10.0.0.20	TCP	1514	8080 → 35706 [ACK] Seq=1552 Ack=135 Win=65152 Len=1448 TSval=...
38	39.920241934	10.0.0.10	10.0.0.20	TCP	543	8080 → 35706 [PSH, ACK] Seq=3090 Ack=135 Win=65152 Len=477 TS...
39	39.920251535	10.0.0.10	10.0.0.10	TCP	66	35706 → 8080 [ACK] Seq=135 Ack=1552 Win=64128 Len=0 TSval=420...
40	39.920251996	10.0.0.10	10.0.0.10	TCP	66	35706 → 8080 [ACK] Seq=135 Ack=3090 Win=63488 Len=0 TSval=420...
41	39.920252347	10.0.0.10	10.0.0.20	TCP	66	35706 → 8080 [ACK] Seq=135 Ack=3477 Win=63232 Len=0 TSval=420...
42	39.920262329	10.0.0.10	10.0.0.20	TCP	1514	8080 → 35706 [ACK] Seq=3477 Ack=135 Win=65152 Len=1448 TSval=...
43	39.920262419	10.0.0.10	10.0.0.20	TCP	1514	8080 → 35706 [ACK] Seq=4925 Ack=135 Win=65152 Len=1448 TSval=...
44	39.920262469	10.0.0.10	10.0.0.20	TCP	1514	8080 → 35706 [ACK] Seq=6373 Ack=135 Win=65152 Len=1448 TSval=...
45	39.920262529	10.0.0.10	10.0.0.20	TCP	401	8080 → 35706 [PSH, ACK] Seq=7821 Ack=135 Win=65152 Len=335 TS...
46	39.920268071	10.0.0.10	10.0.0.10	TCP	66	35706 → 8080 [ACK] Seq=135 Ack=4925 Win=62464 Len=0 TSval=420...
47	39.920268482	10.0.0.10	10.0.0.10	TCP	66	35706 → 8080 [ACK] Seq=135 Ack=6373 Win=61824 Len=0 TSval=420...
48	39.920268823	10.0.0.10	10.0.0.10	TCP	66	35706 → 8080 [ACK] Seq=135 Ack=7821 Win=61056 Len=0 TSval=420...
49	39.920269133	10.0.0.10	10.0.0.20	TCP	66	35706 → 8080 [ACK] Seq=135 Ack=8156 Win=60928 Len=0 TSval=420...
50	40.045229318	10.0.0.10	10.0.0.20	TCP	1514	8080 → 35706 [ACK] Seq=8156 Ack=135 Win=65152 Len=1448 TSval=...
51	40.045230080	10.0.0.10	10.0.0.20	TCP	1514	8080 → 35706 [ACK] Seq=9604 Ack=135 Win=65152 Len=1448 TSval=...
52	40.045230140	10.0.0.10	10.0.0.20	TCP	1514	8080 → 35706 [ACK] Seq=11052 Ack=135 Win=65152 Len=1448 TSval=...
53	40.045230190	10.0.0.10	10.0.0.20	TCP	321	8080 → 35706 [PSH, ACK] Seq=12509 Ack=135 Win=65152 Len=255 T...
54	40.045256177	10.0.0.10	10.0.0.10	TCP	66	35706 → 8080 [ACK] Seq=135 Ack=9604 Win=64128 Len=0 TSval=420...
55	40.045256939	10.0.0.10	10.0.0.10	TCP	66	35706 → 8080 [ACK] Seq=135 Ack=11052 Win=63488 Len=0 TSval=42...
56	40.045257320	10.0.0.10	10.0.0.10	TCP	66	35706 → 8080 [ACK] Seq=135 Ack=12500 Win=62848 Len=0 TSval=42...
57	40.045257660	10.0.0.10	10.0.0.10	TCP	66	35706 → 8080 [ACK] Seq=135 Ack=12755 Win=62720 Len=0 TSval=42...
58	40.292316859	10.0.0.10	10.0.0.20	TCP	1514	8080 → 35706 [ACK] Seq=12755 Ack=135 Win=65152 Len=1448 TSval=...
59	40.292317842	10.0.0.10	10.0.0.20	TCP	1514	8080 → 35706 [ACK] Seq=14203 Ack=135 Win=65152 Len=1448 TSval=...

Figura 3: Captura Wireshark 1 Cliente (VStreamer -> Jasmine)

Avançando para o próximo passo, ao incorporar um novo cliente *Firefox* na *Bela* (IP: 10.0.2.20), torna-se relevante examinar como o servidor distribui pacotes da mesma stream para dois clientes distintos.

Na Figura 4 é possível observar a adição do novo cliente que, há semelhança do anterior, também estabelece um canal de comunicação através de um *3-way handshake*, seguindo-se um pedido HTTP (GET Request) para receber os pacotes de dados da stream.

148	6.092245184	10.0.2.20	10.0.0.19	TCP	74	35864 → 8080 [SYN] Seq=0 Win=64240 Len=0 MSS=1460 SACK_PERM=1
149	6.092258532	10.0.0.19	10.0.2.20	TCP	74	8080 → 35864 [SYN, ACK] Seq=0 Ack=1 Win=65152 Len=0 MSS=1460
150	6.092275176	10.0.2.20	10.0.0.19	TCP	66	35864 → 8080 [ACK] Seq=1 Ack=1 Win=64256 Len=0 TSval=2604054
151	6.092586664	10.0.2.20	10.0.0.19	HTTP	389	GET / HTTP/1.1
152	6.092587428	10.0.0.19	10.0.2.20	TCP	66	8080 → 35864 [ACK] Seq=1 Ack=324 Win=64896 Len=0 TSval=2785098
153	6.118137852	10.0.0.19	10.0.2.20	TCP	1514	8080 → 35706 [PSH, ACK] Seq=1 Ack=324 Win=64896 Len=183 TSval=2604
154	6.118209337	10.0.2.20	10.0.0.19	TCP	66	35864 → 8080 [ACK] Seq=324 Ack=184 Win=64256 Len=0 TSval=2604
155	6.118230229	10.0.0.19	10.0.2.20	TCP	1514	8080 → 35864 [ACK] Seq=184 Ack=324 Win=64896 Len=1448 TSval=2
156	6.118238310	10.0.0.19	10.0.2.20	TCP	1514	8080 → 35864 [ACK] Seq=1552 Ack=324 Win=64896 Len=1448 TSval=
157	6.118239370	10.0.0.19	10.0.2.20	TCP	543	8080 → 35864 [PSH, ACK] Seq=3000 Ack=324 Win=64896 Len=477 TS
158	6.118246352	10.0.2.20	10.0.0.19	TCP	66	35864 → 8080 [ACK] Seq=324 Ack=1552 Win=64128 Len=0 TSval=260
159	6.118246893	10.0.2.20	10.0.0.19	TCP	66	35864 → 8080 [ACK] Seq=324 Ack=3000 Win=63488 Len=0 TSval=260
160	6.118247184	10.0.2.20	10.0.0.19	TCP	66	35864 → 8080 [ACK] Seq=324 Ack=3477 Win=63232 Len=0 TSval=260
161	6.118259225	10.0.0.19	10.0.2.20	TCP	1514	8080 → 35864 [ACK] Seq=3477 Ack=324 Win=64896 Len=1448 TSval=
162	6.118259318	10.0.0.19	10.0.2.20	TCP	1514	8080 → 35864 [ACK] Seq=4925 Ack=324 Win=64896 Len=1448 TSval=
163	6.118259368	10.0.0.19	10.0.2.20	TCP	1514	8080 → 35864 [ACK] Seq=6373 Ack=324 Win=64896 Len=1448 TSval=
164	6.118259429	10.0.0.19	10.0.2.20	TCP	1514	8080 → 35864 [ACK] Seq=7821 Ack=324 Win=64896 Len=1448 TSval=
165	6.118259479	10.0.0.19	10.0.2.20	TCP	1514	8080 → 35864 [PSH, ACK] Seq=9269 Ack=324 Win=64896 Len=1448 T
166	6.118278866	10.0.2.20	10.0.0.19	TCP	66	35864 → 8080 [ACK] Seq=324 Ack=4925 Win=62464 Len=0 TSval=260
167	6.118278637	10.0.2.20	10.0.0.19	TCP	66	35864 → 8080 [ACK] Seq=324 Ack=6373 Win=61824 Len=0 TSval=260
168	6.118278988	10.0.2.20	10.0.0.19	TCP	66	35864 → 8080 [ACK] Seq=324 Ack=7821 Win=61056 Len=0 TSval=260
169	6.118279319	10.0.2.20	10.0.0.19	TCP	66	35864 → 8080 [ACK] Seq=324 Ack=9269 Win=60288 Len=0 TSval=260
170	6.118279660	10.0.2.20	10.0.0.19	TCP	66	35864 → 8080 [ACK] Seq=324 Ack=10717 Win=59648 Len=0 TSval=26
171	6.118281654	10.0.0.19	10.0.2.20	TCP	438	8080 → 35864 [PSH, ACK] Seq=10717 Ack=324 Win=64896 Len=372 T
172	6.118285852	10.0.2.20	10.0.0.19	TCP	66	35864 → 8080 [ACK] Seq=324 Ack=11089 Win=59392 Len=0 TSval=25

Figura 4: Captura Wireshark 2 Clientes (VStreamer -> Bela)

Na Figura 5, é possível notar a retransmissão de dados para o cliente *Jasmine*, que, de forma alternada com o cliente *Bela*, recebe todos os pacotes de dados da stream. Essa alternância ocorre devido ao facto do servidor direcionar todo o tráfego por apenas uma interface, o que implica a implementação de controle de fluxo para atender a todos os clientes.

No.	Time	Source	Destination	Protocol	Length	Info
173	6.215866553	00:00:00_aa:00:01	00:00:00_aa:00:00	ARP	42	Who has 10.0.0.10? Tell 10.0.0.20
174	6.215824826	00:00:00_aa:00:00	00:00:00_aa:00:00	ARP	42	10.0.0.10 is at 00:00:00_aa:00:00
175	6.449685824	10.0.0.19	10.0.2.20	TCP	1514	8080 → 35706 [ACK] Seq=9218 Ack=1 Win=509 Len=1448 TSval=316
176	6.449686375	10.0.0.19	10.0.2.20	TCP	1514	8080 → 35706 [ACK] Seq=9218 Ack=1 Win=509 Len=1448 TSval=316
177	6.449686446	10.0.0.19	10.0.2.20	TCP	1514	8080 → 35706 [ACK] Seq=94366 Ack=1 Win=509 Len=1448 TSval=316
178	6.449686496	10.0.0.19	10.0.2.20	TCP	1514	8080 → 35706 [ACK] Seq=95814 Ack=1 Win=509 Len=1448 TSval=316
179	6.449686546	10.0.0.19	10.0.2.20	TCP	921	8080 → 35706 [PSH, ACK] Seq=97262 Ack=1 Win=509 Len=855 TSval=
180	6.449695173	10.0.0.19	10.0.2.20	TCP	1514	8080 → 35864 [ACK] Seq=1089 Ack=324 Win=64896 Len=1448 TSval=
181	6.449695243	10.0.0.19	10.0.2.20	TCP	1514	8080 → 35864 [ACK] Seq=12537 Ack=324 Win=64896 Len=1448 TSval=
182	6.449695293	10.0.0.19	10.0.2.20	TCP	1514	8080 → 35864 [ACK] Seq=13985 Ack=324 Win=64896 Len=1448 TSval=
183	6.449695344	10.0.0.19	10.0.2.20	TCP	1514	8080 → 35864 [ACK] Seq=15433 Ack=324 Win=64896 Len=1448 TSval=
184	6.449695384	10.0.0.19	10.0.2.20	TCP	921	8080 → 35864 [PSH, ACK] Seq=16881 Ack=324 Win=64896 Len=855 T
185	6.453136411	10.0.0.19	10.0.2.20	TCP	66	35706 → 8080 [ACK] Seq=1 Ack=92918 Win=1084 Len=0 TSval=42034
186	6.453138074	10.0.0.19	10.0.2.20	TCP	66	35706 → 8080 [ACK] Seq=1 Ack=94366 Win=998 Len=0 TSval=42034
187	6.453138585	10.0.0.19	10.0.2.20	TCP	66	35706 → 8080 [ACK] Seq=1 Ack=95814 Win=993 Len=0 TSval=42034
188	6.453139026	10.0.0.19	10.0.2.20	TCP	66	35706 → 8080 [ACK] Seq=1 Ack=97262 Win=987 Len=0 TSval=42034
189	6.453139437	10.0.0.19	10.0.2.20	TCP	66	35706 → 8080 [ACK] Seq=1 Ack=98117 Win=984 Len=0 TSval=42034
190	6.453201934	10.0.2.20	10.0.0.19	TCP	8080	Seq=324 Ack=12537 Win=64128 Len=0 TSval=26
191	6.453202595	10.0.2.20	10.0.0.19	TCP	66	35864 → 8080 [ACK] Seq=324 Ack=13985 Win=63488 Len=0 TSval=26
192	6.453202956	10.0.2.20	10.0.0.19	TCP	66	35864 → 8080 [ACK] Seq=324 Ack=15433 Win=62848 Len=0 TSval=26
193	6.453293387	10.0.2.20	10.0.0.19	TCP	66	35864 → 8080 [ACK] Seq=324 Ack=16881 Win=62080 Len=0 TSval=26
194	6.453293788	10.0.2.20	10.0.0.19	TCP	66	35864 → 8080 [ACK] Seq=324 Ack=17736 Win=61696 Len=0 TSval=26
195	6.947180699	10.0.0.19	10.0.2.20	TCP	1514	8080 → 35706 [ACK] Seq=98117 Ack=1 Win=509 Len=1448 TSval=316
196	6.947181350	10.0.0.19	10.0.2.20	TCP	1514	8080 → 35706 [ACK] Seq=99565 Ack=1 Win=509 Len=1448 TSval=316
197	6.947181420	10.0.0.19	10.0.2.20	TCP	1514	8080 → 35706 [ACK] Seq=101913 Ack=1 Win=509 Len=1448 TSval=31
198	6.947181460	10.0.0.19	10.0.2.20	TCP	1473	8080 → 35706 [PSH, ACK] Seq=102461 Ack=1 Win=509 Len=1497 TSv
199	6.947208725	10.0.0.19	10.0.2.20	TCP	66	35706 → 8080 [ACK] Seq=1 Ack=99565 Win=1084 Len=0 TSval=42034
200	6.947209607	10.0.0.19	10.0.2.20	TCP	66	35706 → 8080 [ACK] Seq=1 Ack=101913 Win=998 Len=0 TSval=42034
201	6.947209998	10.0.0.19	10.0.2.20	TCP	66	35706 → 8080 [ACK] Seq=1 Ack=102461 Win=993 Len=0 TSval=42034
202	6.947210339	10.0.0.19	10.0.2.20	TCP	66	35706 → 8080 [ACK] Seq=1 Ack=103686 Win=987 Len=0 TSval=42034
203	6.947221421	10.0.0.19	10.0.2.20	TCP	1514	8080 → 35864 [ACK] Seq=17736 Ack=324 Win=64896 Len=1448 TSval=
204	6.947221511	10.0.0.19	10.0.2.20	TCP	1514	8080 → 35864 [ACK] Seq=19184 Ack=324 Win=64896 Len=1448 TSval=
205	6.947221572	10.0.0.19	10.0.2.20	TCP	1514	8080 → 35864 [ACK] Seq=20632 Ack=324 Win=64896 Len=1448 TSval=
206	6.947221622	10.0.0.19	10.0.2.20	TCP	1473	8080 → 35864 [PSH, ACK] Seq=22080 Ack=324 Win=64896 Len=1497
207	6.947283126	10.0.2.20	10.0.0.19	TCP	66	35864 → 8080 [ACK] Seq=324 Ack=19184 Win=64128 Len=0 TSval=26

Figura 5: Captura Wireshark 2 Clientes (VStreamer -> Jasmine & Bela)

Com a adição de um novo cliente, desta vez no Monstro (IP: 10.0.2.21) e usando ffplay, as etapas anteriores se repetem. Na Figura 6, podemos notar o procedimento de *3-way handshake*, no qual se estabelece a conexão, seguido por um pedido HTTP (GET Request) e a subsequente transmissão de dados.

No.	Time	Source	Destination	Protocol	Length	Info
243	4.639152579	10.0.0.1	224.6.0.5	OSPF	78	Hello Packet
244	4.934770741	fe80::200:ff:feaa:3	ff02::5	OSPF	90	Hello Packet
245	5.071404993	10.0.2.21	10.0.0.19	TCP	74	48510 → 8080 [SYN] Seq=0 Win=64240 Len=0 MSS=1460 SACK_PERM=1
246	5.072451746	10.0.0.19	10.0.2.21	TCP	74	8080 → 48510 [SYN, ACK] Seq=0 Ack=1 Win=65152 Len=0 MSS=1460
247	5.071433853	10.0.2.21	10.0.0.19	TCP	66	48510 → 8080 [ACK] Seq=1 Ack=1 Win=64256 Len=0 TSval=16237377
248	5.071485376	10.0.2.21	10.0.0.19	HTTP	200	GET / HTTP/1.1
249	5.071489174	10.0.0.19	10.0.2.21	TCP	66	8080 → 48510 [ACK] Seq=1 Ack=135 Win=65152 Len=0 TSval=654506
250	5.091656399	10.0.0.19	10.0.2.21	TCP	169	8080 → 48510 [PSH, ACK] Seq=1 Ack=135 Win=65152 Len=183 TSval=
251	5.091684977	10.0.2.21	10.0.0.19	TCP	66	48510 → 8080 [ACK] Seq=135 Ack=184 Win=64256 Len=0 TSval=1623
252	5.091696279	10.0.0.19	10.0.2.21	TCP	1514	8080 → 48510 [ACK] Seq=184 Ack=135 Win=65152 Len=1448 TSval=8
253	5.091696360	10.0.0.19	10.0.2.21	TCP	1514	8080 → 48510 [ACK] Seq=1552 Ack=135 Win=65152 Len=1448 TSval=
254	5.091696440	10.0.0.19	10.0.2.21	TCP	543	8080 → 48510 [PSH, ACK] Seq=3000 Ack=135 Win=65152 Len=477 TS
255	5.091709646	10.0.2.21	10.0.0.19	TCP	66	48510 → 8080 [ACK] Seq=135 Ack=1552 Win=64128 Len=0 TSval=162
256	5.091718117	10.0.2.21	10.0.0.19	TCP	66	48510 → 8080 [ACK] Seq=135 Ack=3000 Win=63488 Len=0 TSval=162
257	5.091719458	10.0.2.21	10.0.0.19	TCP	66	48510 → 8080 [ACK] Seq=135 Ack=3477 Win=63232 Len=0 TSval=162
258	5.091719496	10.0.0.19	10.0.2.21	TCP	1514	8080 → 48510 [ACK] Seq=3477 Ack=135 Win=65152 Len=1448 TSval=
259	5.091719596	10.0.0.19	10.0.2.21	TCP	1514	8080 → 48510 [ACK] Seq=4925 Ack=135 Win=65152 Len=1448 TSval=
260	5.091719646	10.0.0.19	10.0.2.21	TCP	1514	8080 → 48510 [ACK] Seq=6373 Ack=135 Win=65152 Len=1448 TSval=
261	5.091719697	10.0.0.19	10.0.2.21	TCP	1514	8080 → 48510 [ACK] Seq=7821 Ack=135 Win=65152 Len=1448 TSval=
262	5.091719747	10.0.0.19	10.0.2.21	TCP	1514	8080 → 48510 [PSH, ACK] Seq=9269 Ack=135 Win=65152 Len=1448 T
263	5.091736280	10.0.2.21	10.0.0.19	TCP	66	48510 → 8080 [ACK] Seq=135 Ack=4925 Win=62464 Len=0 TSval=162
264	5.091736691	10.0.2.21	10.0.0.19	TCP	66	48510 → 8080 [ACK] Seq=135 Ack=6373 Win=61824 Len=0 TSval=162
265	5.091737031	10.0.2.21	10.0.0.19	TCP	66	48510 → 8080 [ACK] Seq=135 Ack=7821 Win=61056 Len=0 TSval=162
266	5.091737352	10.0.2.21	10.0.0.19	TCP	66	48510 → 8080 [ACK] Seq=135 Ack=9269 Win=60288 Len=0 TSval=162
267	5.091737683	10.0.2.21	10.0.0.19	TCP	66	48510 → 8080 [ACK] Seq=135 Ack=10717 Win=59648 Len=0 TSval=16
268	5.091740178	10.0.0.19	10.0.2.21	TCP	1514	8080 → 48510 [ACK] Seq=10717 Ack=135 Win=65152 Len=1448 TSval=
269	5.091740238	10.0.0.19	10.0.2.21	TCP	1378	8080 → 48510 [PSH, ACK] Seq=12165 Ack=135 Win=65152 Len=1312
270	5.091747172	10.0.2.21	10.0.0.19	TCP	66	48510 → 8080 [ACK] Seq=135 Ack=12165 Win=58880 Len=0 TSval=16
271	5.091747553	10.0.2.21	10.0.0.19	TCP	66	48510 → 8080 [ACK] Seq=135 Ack=13477 Win=58240 Len=0 TSval=16
272	5.091751701	10.0.0.19	10.0.2.21	TCP	174	8080 → 48510 [PSH, ACK] Seq=13477 Ack=135 Win=65152 Len=108 T
273	5.091756180	10.0.2.21	10.0.0.19	TCP	66	48510 → 8080 [ACK] Seq=135 Ack=13585 Win=58240 Len=0 TSval=16
274	6.178997597	10.0.0.19	10.0.2.20	TCP	1514	8080 → 35706 [ACK] Seq=73946 Ack=1 Win=509 Len=1448 TSval=316
275	6.178998238	10.0.0.19	10.0.2.20	TCP	1514	8080 → 35706 [ACK] Seq=73946 Ack=1 Win=509 Len=1448 TSval=316
276	6.178998308	10.0.0.19	10.0.2.20	TCP	1514	8080 → 35706 [ACK] Seq=76842 Ack=1 Win=509 Len=1448 TSval=316

Figura 6: Captura Wireshark 3 Clientes (VStreamer -> Monstro)

Na Figura 7, verifica-se novamente a comunicação intercalada com os vários clientes, já descrita e explicada anteriormente.

Esses valores representam a largura de banda total necessária para acomodar as transmissões simultâneas de todos os clientes, demonstrando uma escalabilidade linear, apesar de não totalmente perfeita, na adição de cada cliente.

Encapsulamento dos Pacotes

Quanto ao encapsulamento dos pacotes de dados, a Figura 12 evidencia os protocolos de todos os pacotes capturados. Retiramos as seguintes conclusões:

- Todos os pacotes correm sobre protocolo Ethernet, que corresponde à Camada de Ligação de Dados.
- Os pacotes ARP correm dentro da Camada de Ligação de Dados.
- Os pacotes OSPF correm em cima de IPV4 e IPV6, logo correm na Camada de Rede.
- Os pacotes de transmissão correm em TCP/IPV4 e Ethernet, logo correm na Camada de Transporte.
- Os pedidos HTTP correm na camada de aplicação, em cima de TCP, IPV4 e Ethernet.

Protocol	Percent Packets	Packets	Percent Bytes	Bytes	Bits/s	End Packets	End Bytes	End Bits/s
▼ Frame	100.0	2740	100.0	1922931	467 k	0	0	0
▼ Ethernet	100.0	2740	2.0	38360	9332	0	0	0
▼ Internet Protocol Version 6	0.1	3	0.0	120	29	0	0	0
▼ Open Shortest Path First	0.1	3	0.0	108	26	3	108	26
▼ Internet Protocol Version 4	99.8	2735	2.8	54700	13 k	0	0	0
▼ Transmission Control Protocol	99.2	2718	95.1	1828839	444 k	2523	1555500	378 k
▼ Hypertext Transfer Protocol	7.1	195	14.4	276069	67 k	186	266397	64 k
▼ Malformed Packet	0.3	9	0.0	0	0	9	0	0
▼ Open Shortest Path First	0.6	17	0.0	748	181	17	748	181
▼ Address Resolution Protocol	0.1	2	0.0	56	13	2	56	13

Figura 12: Pilha Protocolar envolvida no Streaming Simples por HTTP

Fluxos Gerados

Observando a Figura 9, Figura 10 e Figura 11, obtivemos a seguinte análise em relação aos fluxos gerados:

- Com um cliente (VLC), um único fluxo de dados foi gerado entre o servidor VStreamer e o PC Jasmine.
- Com dois clientes (VLC e Firefox), dois fluxos distintos de dados foram gerados, entre o servidor VStreamer e os PCs Jasmine e Bela.
- Com três clientes (VLC, Firefox e ffplay), observamos a geração de três fluxos de dados distintos, entre o servidor VStreamer e os PCs Jasmine, Bela e Monstro.

Essa análise evidenciou que o número de fluxos gerados correspondeu diretamente ao número de clientes envolvidos em cada cenário. Esses fluxos representam as conexões de comunicação ativas entre o servidor e cada cliente.

Comente a escalabilidade da solução.

Para o estudo da escalabilidade da solução, o grupo analisou as conexões e construiu a seguinte ilustração na Figura 13, que representa o que acontece na realidade.

A natureza do protocolo utilizado para a transmissão dos pacotes faz com que para cada novo cliente se crie uma nova ligação orientada à conexão, ou seja, uma nova porta onde se executa todo controle associado ao protocolo TCP. Esta implementação implica negativamente a escalabilidade e eficiência da transmissão por vários motivos para além do mencionado, sendo os principais:

- o overhead do http torna o início da conexão mais lento.
- a transmissão orientada à conexão transmite muitas vezes os mesmos dados, ao mesmo tempo.

No entanto, o que o protocolo tira em performance e escalabilidade dá em experiência de utilizador, permitindo a cada cliente navegar qualquer parte do vídeo e obter os todos pacotes de forma confiável.

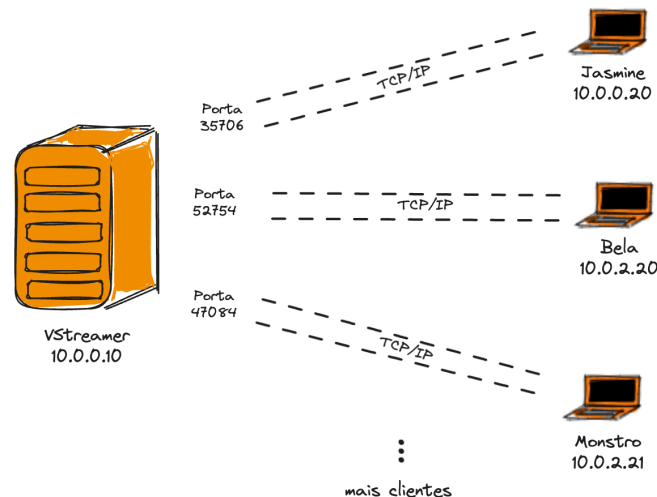


Figura 13: Fluxos Gerados entre Servidor e Clientes

2.2 | Etapa 2 - Streaming adaptativo sobre HTTP (MPEG-DASH)

O objetivo desta etapa é utilizar o *videoB.mp4* como entrada e gerar pelo menos três variantes com três resoluções diferentes, para que depois possa ser servido em streaming com débito adaptativo e estudado pelo grupo.

Questão 2 - Diga qual a largura de banda necessária, em bits por segundo, para que o cliente de streaming consiga receber o vídeo no firefox e qual a pilha protocolar usada neste cenário.

O grupo criou as três variantes do *videoB.mp4* com as suas características descritas no ficheiro *video_manifest.mpd*, detalhadas em maior detalhe na Figura 14, Figura 15 e Figura 16. Analisando o parâmetro *bandwidth*, concluímos que o mínimo de largura de banda de cada vídeo é:

- *videoB200k.mp4* : 173339 bps
- *videoB500k.mp4* : 474642 bps
- *videoB1000k.mp4* : 925335 bps

```
<Representation id="1" mimeType="video/mp4" codecs="avc3.64000c" width="200" height="150" frameRate="30" sar="1:1" startWithSAP="0" bandwidth="173339">
<BaseURL>videoB_200_150_200k_dash.mp4</BaseURL>
```

Figura 14: bps necessário para o videoB_200k.mp4

```
<Representation id="2" mimeType="video/mp4" codecs="avc3.64001e" width="480" height="360" frameRate="30" sar="1:1" startWithSAP="0" bandwidth="474642">
<BaseURL>videoB_480_360_500k_dash.mp4</BaseURL>
```

Figura 15: bps necessário para o videoB_500k.mp4

```
<Representation id="3" mimeType="video/mp4" codecs="avc3.64001e" width="640" height="480" frameRate="30" sar="1:1" startWithSAP="0" bandwidth="925335">
<BaseURL>videoB_640_480_1000k_dash.mp4</BaseURL>
```

Figura 16: bps necessário para o videoB_1000k.mp4

Quanto à pilha protocolar envolvida no streaming adaptativo sobre HTTP, a Figura 17 demonstra todo o tráfego capturado, podendo assim tirar as seguintes conclusões:

- **OSPF/IPv6 e OSPF/IPv4**: Protocolos de roteamento em redes IPv6 e IPv4, que permitem que routers troquem informações de roteamento e determinem os melhores caminhos para o tráfego de dados.
- **ARP**: Protocolo de Resolução de Endereço, usado em redes Ethernet para mapear endereços IP em endereços MAC para a transmissão de pacotes de dados em redes locais.
- **TCP/IP**: Uma suíte de protocolos de rede que forma a base da internet, possibilitando a comunicação de dados e conectividade de rede de forma confiável.

- **HTTP**: Protocolo de Transferência de Hipertexto, assente sobre TCP/IP e utilizado para solicitar e apresentar conteúdo da web.
- **MP4/ISO-BMFF**: Pacotes relacionados ao Formato de Arquivo de Mídia Base ISO (ISO-BMFF) dentro de arquivos MP4, contendo dados estruturados sobre o conteúdo multimédia.

Protocol	Percent Packets	Packets	Percent Bytes	Bytes	Bits/s	End Packets	End Bytes	End Bits/s
Frame	100.0	5404	100.0	4769102	924 k	0	0	0
Ethernet	100.0	5404	1.6	75656	14 k	0	0	0
Internet Protocol Version 6	0.1	4	0.0	160	31	0	0	0
Open Shortest Path First	0.1	4	0.0	144	27	4	144	27
Internet Protocol Version 4	99.9	5398	2.3	107960	20 k	0	0	0
Transmission Control Protocol	99.5	5377	96.1	4584202	888 k	5366	4578908	887 k
Hypertext Transfer Protocol	0.2	9	28.3	1347318	261 k	7	2345	454
MP4 / ISOBMFF file format	0.0	2	28.2	1344563	260 k	2	1344973	260 k
Data	0.0	2	0.0	1368	265	2	1368	265
Open Shortest Path First	0.4	21	0.0	924	179	21	924	179
Address Resolution Protocol	0.0	2	0.0	56	10	2	56	10

Figura 17: Wireshark -> Protocol Hierarchy

Questão 3 - Ajuste o débito dos links da topologia de modo que o cliente no portátil Bela exiba o vídeo de menor resolução e o cliente no portátil Alladin exiba o vídeo com mais resolução. Mostre evidências.

De forma a verificar o débito adaptativo, o grupo estabeleceu um limite de largura de banda na conexão entre *sw2* e *Bela* com um valor um pouco a baixo do descrito no ficheiro *video_manifest.mpd* para o *videoB500k.mpd*.

A Figura 18 demonstra esta conexão e encontra-se a vermelho pois está a ultrapassar o *threshold* imposto.

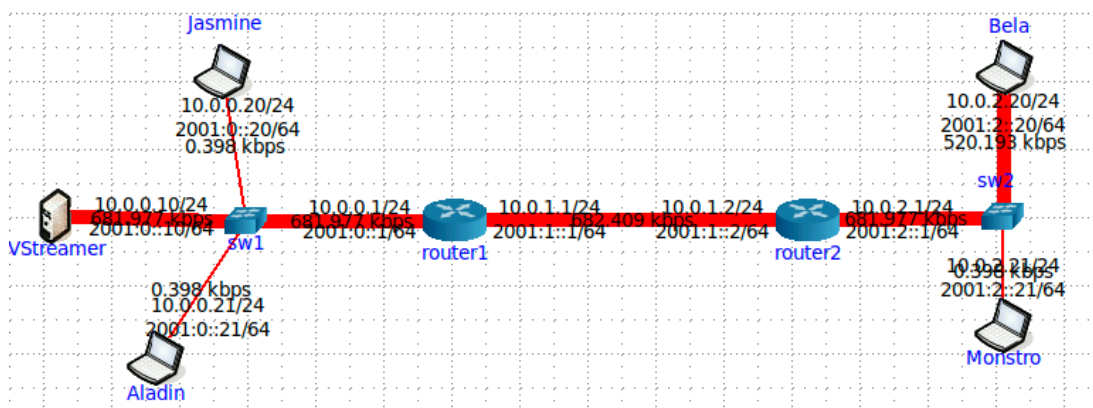


Figura 18: Tráfego do streaming VStreamer -> Bela

Inspecionando o tráfego do browser no cliente *Bela*, presente na Figura 19, verifica-se que após o pedido bem sucedido do *video_dash.html* e do *video_manifest.mpd* o cliente procede ao pedido dos ficheiros *.mp4*. Como não é bem sucedido no pedido do *videoB1000k.mpd*, pede um de largura de banda mais baixa, o *videoB500k.mpd*. Como este pedido também não é bem sucedido, pede o de largura de banda mais baixa, o *videoB200k.mpd*, sendo que este já é bem sucedido. Estes pedidos são orientados pelo ficheiro *video_manifest.mpd* que descreve o streaming adaptativo.

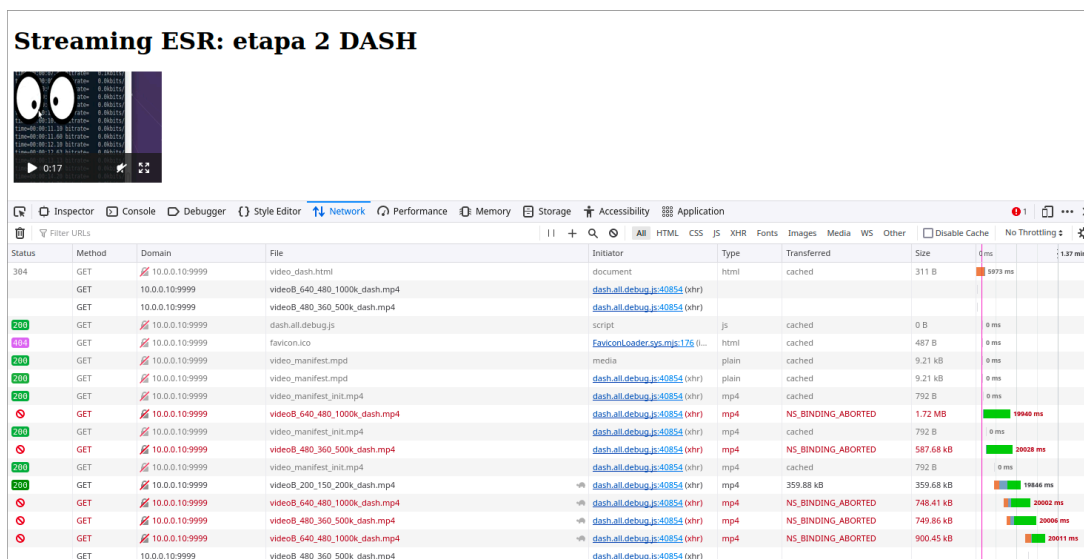


Figura 19: Análise de tráfego no Browser Bela

Para conseguir o video de maior resolução no browser do cliente *Alladin*, o grupo não estabeleceu qualquer limite na largura de banda. A Figura 20 demonstra o tráfego do browser e é possível verificar que o primeiro pedido do vídeo é bem sucedido, logo não há necessidade de novos pedidos de menor resolução.

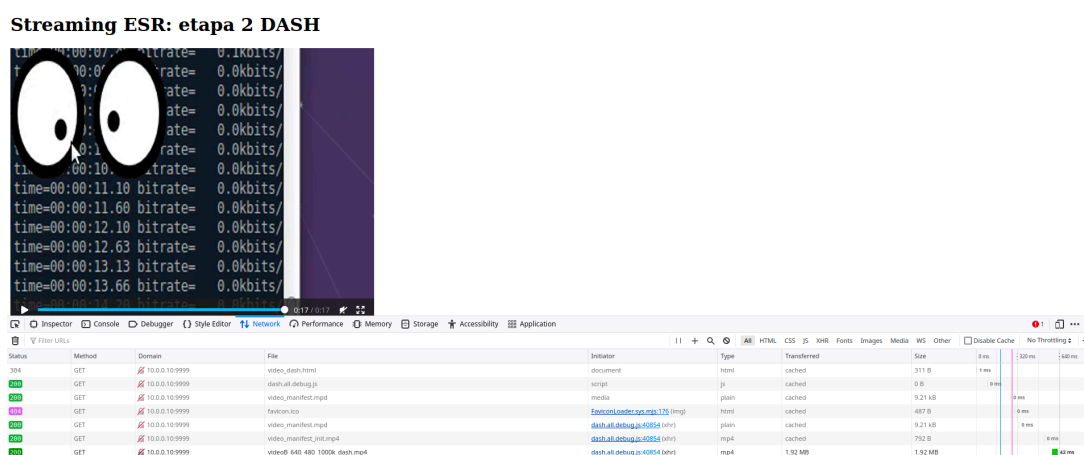


Figura 20: Análise de tráfego no Browser Alladin

A vantagem deste mecanismo é que em situações que a rede não suporta o streaming de uma certa resolução o browser adapta-se até conseguir streamar com a menor resolução possível - um caso real onde se observa este efeito é o Youtube, que suporta várias resoluções de streaming para o mesmo vídeo, de forma a oferecer uma solução flexível a todos os utilizadores.

Questão 4 - Descreva o funcionamento do DASH neste caso concreto, referindo o papel do ficheiro MPD criado.

O DASH (*Dynamic Adaptive Streaming over HTTP*) e o ficheiro .mpd definem o sistema de streaming de vídeo DASH. O ficheiro fornece informações sobre a estrutura do vídeo, as suas representações e a adaptação com base nas condições de rede e dispositivos do espectador.

Neste caso, o efeito a ser estudado é a parte do ficheiro que define a Lógica de Adaptação. Esta parte esclarece como o servidor serve o conteúdo de acordo com as condições de rede e do cliente, como ilustra a Figura 21.

As Figuras 19 e 20 demonstram o efeito do sistema Dash em ação. As condições de rede na *Bela* não são suficientemente boas para a transmissão do vídeo com maior resolução, desse modo, utilizando o ficheiro .mpd o cliente faz pedidos de vídeos com menor largura de banda, até que é bem sucedido no pedido do *videoB200k.mp4*

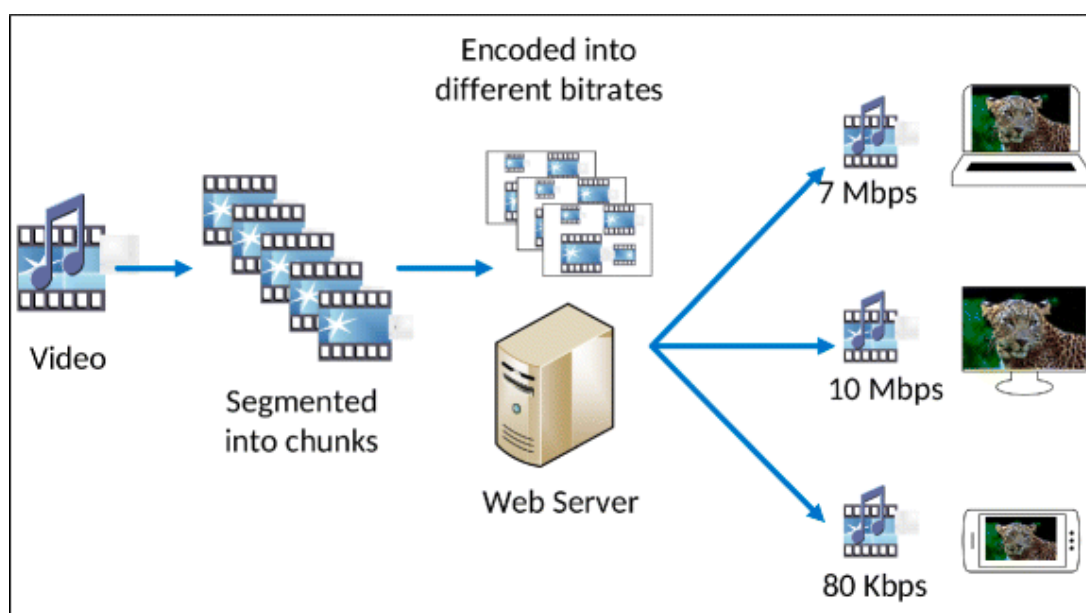


Figura 21: Diagrama do Funcionamento do Dash

2.3 | Etapa 3 - Streaming RTP/RTCP unicast sobre UDP e multicast com anúncios SAP

Nesta etapa o grupo estudou o cenário unicast e o cenário multicast, que se tratam de duas abordagens diferentes para o encaminhamento de dados numa rede de computadores. Para comparar esses dois cenários, o grupo construiu duas streams de dados em redes diferentes, de forma a entender as vantagens e desvantagens em relação à escalabilidade e ao tráfego na rede.

Cenário Unicast

Para simular o cenário de unicasting foi utilizada a topologia de rede apresentada nas etapas anteriores, sendo inicialmente feito um teste de conectividade entre o VStreamer e a Bela e o VStreamer e a Jasmin, como mostra a Figura 22.

```
root@VStreamer:/tmp/pycore.43729/VStreamer.conf# ping 10.0.2.20
PING 10.0.2.20 (10.0.2.20) 56(84) bytes of data:
64 bytes from 10.0.2.20: icmp_seq=1 ttl=62 time=1.60 ms
64 bytes from 10.0.2.20: icmp_seq=2 ttl=62 time=1.02 ms
64 bytes from 10.0.2.20: icmp_seq=3 ttl=62 time=1.27 ms
64 bytes from 10.0.2.20: icmp_seq=4 ttl=62 time=1.02 ms
64 bytes from 10.0.2.20: icmp_seq=5 ttl=62 time=1.01 ms
64 bytes from 10.0.2.20: icmp_seq=6 ttl=62 time=1.03 ms
64 bytes from 10.0.2.20: icmp_seq=7 ttl=62 time=1.06 ms
64 bytes from 10.0.2.20: icmp_seq=8 ttl=62 time=1.07 ms
^C
--- 10.0.2.20 ping statistics ---
8 packets transmitted, 8 received, 0% packet loss, time 7013ms
rtt min/avg/max/mdev = 1.010/1.134/1.599/0.192 ms
root@VStreamer:/tmp/pycore.43729/VStreamer.conf# ping 10.0.0.20
PING 10.0.0.20 (10.0.0.20) 56(84) bytes of data:
64 bytes from 10.0.0.20: icmp_seq=1 ttl=64 time=0.093 ms
64 bytes from 10.0.0.20: icmp_seq=2 ttl=64 time=0.052 ms
64 bytes from 10.0.0.20: icmp_seq=3 ttl=64 time=0.049 ms
64 bytes from 10.0.0.20: icmp_seq=4 ttl=64 time=0.052 ms
64 bytes from 10.0.0.20: icmp_seq=5 ttl=64 time=0.043 ms
64 bytes from 10.0.0.20: icmp_seq=6 ttl=64 time=0.045 ms
64 bytes from 10.0.0.20: icmp_seq=7 ttl=64 time=0.042 ms
```

Figura 22: Teste de conectividade VStreamer -> Bela & Jasmin

Após verificado o correto funcionamento da rede, o grupo começa o streaming Unicast do VStreamer ao Monstro, sendo que foi capturado o seguinte conjunto de pacotes no VStreamer.

No.	Time	Source	Destination	Protocol	Length	Info
277	6.546168781	10.0.0.10	10.0.2.21	UDP	814	38557 -> 5555 Len=772
278	6.546209914	10.0.2.21	10.0.0.10	ICMP	590	Destination unreachable (Port unreachable)
279	6.598397664	10.0.0.10	10.0.2.21	UDP	776	38558 -> 5555 Len=28
280	6.599941662	10.0.0.10	10.0.2.21	UDP	1978	38557 -> 5555 Len=1836
281	6.641625784	10.0.0.10	10.0.2.21	UDP	1198	38557 -> 5555 Len=1156
282	6.696504648	10.0.0.10	10.0.2.21	UDP	1514	38557 -> 5555 Len=1472
283	6.696545030	10.0.0.10	10.0.2.21	UDP	1514	38557 -> 5555 Len=1472
284	6.696550159	10.0.0.10	10.0.2.21	UDP	1514	38557 -> 5555 Len=1472
285	6.696554387	10.0.0.10	10.0.2.21	UDP	1514	38557 -> 5555 Len=1472
286	6.696558474	10.0.0.10	10.0.2.21	UDP	1514	38557 -> 5555 Len=1472
287	6.696562531	10.0.0.10	10.0.2.21	UDP	1514	38557 -> 5555 Len=1472
288	6.696566568	10.0.0.10	10.0.2.21	UDP	1514	38557 -> 5555 Len=1472
289	6.696570475	10.0.0.10	10.0.2.21	UDP	1514	38557 -> 5555 Len=1472
290	6.696574462	10.0.0.10	10.0.2.21	UDP	1514	38557 -> 5555 Len=1472
291	6.696578419	10.0.0.10	10.0.2.21	UDP	1514	38557 -> 5555 Len=1472
292	6.696582326	10.0.0.10	10.0.2.21	UDP	1514	38557 -> 5555 Len=1472
293	6.696586383	10.0.0.10	10.0.2.21	UDP	859	38557 -> 5555 Len=817
294	6.750310177	10.0.0.10	10.0.2.21	UDP	1386	38557 -> 5555 Len=1344
295	6.792622907	10.0.0.10	10.0.2.21	UDP	919	38557 -> 5555 Len=877
296	6.844649926	10.0.0.10	10.0.2.21	UDP	754	38557 -> 5555 Len=712
297	6.896566030	10.0.0.10	10.0.2.21	UDP	1514	38557 -> 5555 Len=1472
298	6.896569837	10.0.0.10	10.0.2.21	UDP	1514	38557 -> 5555 Len=1472
299	6.896571981	10.0.0.10	10.0.2.21	UDP	1514	38557 -> 5555 Len=1472
300	6.896574044	10.0.0.10	10.0.2.21	UDP	738	38557 -> 5555 Len=696
301	6.948447514	10.0.0.10	10.0.2.21	UDP	1045	38557 -> 5555 Len=1003
302	7.000941928	10.0.0.10	10.0.2.21	UDP	726	38557 -> 5555 Len=684
303	7.041131744	10.0.0.10	10.0.2.21	UDP	632	38557 -> 5555 Len=590
304	7.093207292	10.0.0.10	10.0.2.21	UDP	977	38557 -> 5555 Len=935
305	7.145832515	10.0.0.10	10.0.2.21	UDP	980	38557 -> 5555 Len=938
306	7.198866615	10.0.0.10	10.0.2.21	UDP	1242	38557 -> 5555 Len=1200
307	7.251357591	10.0.0.10	10.0.2.21	UDP	1514	38557 -> 5555 Len=1472
308	7.251399124	10.0.0.10	10.0.2.21	UDP	243	38557 -> 5555 Len=201
309	7.293236908	10.0.0.10	10.0.2.21	UDP	1514	38557 -> 5555 Len=1472
310	7.293286566	10.0.0.10	10.0.2.21	UDP	1514	38557 -> 5555 Len=1472
311	7.293291695	10.0.0.10	10.0.2.21	UDP	1514	38557 -> 5555 Len=1472
312	7.293295882	10.0.0.10	10.0.2.21	UDP	1514	38557 -> 5555 Len=1472
313	7.293300450	10.0.0.10	10.0.2.21	UDP	1514	38557 -> 5555 Len=1472
314	7.293304948	10.0.0.10	10.0.2.21	UDP	1514	38557 -> 5555 Len=1472
315	7.293309096	10.0.0.10	10.0.2.21	UDP	1514	38557 -> 5555 Len=1472
316	7.293314816	10.0.0.10	10.0.2.21	UDP	1514	38557 -> 5555 Len=1472
317	7.293319995	10.0.0.10	10.0.2.21	UDP	1514	38557 -> 5555 Len=1472
318	7.293324924	10.0.0.10	10.0.2.21	UDP	1514	38557 -> 5555 Len=1472
319	7.293329171	10.0.0.10	10.0.2.21	UDP	1514	38557 -> 5555 Len=1472
320	7.293333379	10.0.0.10	10.0.2.21	UDP	1514	38557 -> 5555 Len=1472
321	7.293337907	10.0.0.10	10.0.2.21	UDP	534	38557 -> 5555 Len=492
322	7.353083942	10.0.0.10	10.0.2.21	UDP	1139	38557 -> 5555 Len=1097
323	7.401177061	10.0.0.10	10.0.2.21	UDP	854	38557 -> 5555 Len=812
324	7.443063791	10.0.0.10	10.0.2.21	UDP	1514	38557 -> 5555 Len=1472
325	7.443110879	10.0.0.10	10.0.2.21	UDP	1514	38557 -> 5555 Len=1472
326	7.443113890	10.0.0.10	10.0.2.21	UDP	1209	38557 -> 5555 Len=1167
327	7.495154275	10.0.0.10	10.0.2.21	UDP	990	38557 -> 5555 Len=948
328	7.547184072	10.0.0.10	10.0.2.21	UDP	532	38557 -> 5555 Len=490
329	7.598955790	10.0.0.10	10.0.2.21	UDP	760	38557 -> 5555 Len=718
330	7.650308766	10.0.0.10	10.0.2.21	UDP	808	38557 -> 5555 Len=766

Figura 23: Captura Wireshark do VStreamer em Unicast

Como é possível ver na Figura 24, no cenário Unicast cria-se um fluxo de dados com o cliente-alvo.

Na Figura 25 é possível ver os protocolos envolvidos na transmissão, sendo o protocolo de transporte o UDP, ao contrário das etapas anteriores.

Ethernet	10	IPv4	2	IPv6	8	TCP	UDP	4					
Address A	Port A	Address B	Port B	Packets	Bytes	Packets A → B	Bytes A → B	Packets B → A	Bytes B → A	Rel Start	Duration	Bits/s A → B	Bits/s B → A
10.0.0.10	45918	10.0.2.21	5555	1,622	1361 k	1,622	1361 k	0	0	0.000000	49.5438	219 k	0
10.0.0.10	45919	10.0.2.21	5556	10	700	10	700	0	0	0.898554	45.2946	123	0
fe80::b4d3ff:fe08:793	5353	ff02::b	5353	1	107	1	107	0	0	9.020469	0.0000	—	—
fe80::bc72:6aff:fe29:9305	5353	ff02::b	5353	1	107	1	107	0	0	9.750270	0.0000	—	—

Figura 24: Fluxos Gerados em Unicast

Protocol	Percent Packets	Packets	Percent Bytes	Bytes	Bits/s	End Packets	End Bytes	End Bits/s
▼ Frame	100.0	1698	100.0	1374833	221 k	0	0	0
▼ Ethernet	100.0	1698	1.7	23772	3838	0	0	0
▼ Internet Protocol Version 6	0.7	12	0.0	480	77	0	0	0
▼ User Datagram Protocol	0.1	2	0.0	16	2	0	0	0
▼ Multicast Domain Name System	0.1	2	0.0	90	14	2	90	14
▼ Open Shortest Path First	0.3	5	0.0	180	29	5	180	29
▼ Internet Control Message Protocol v6	0.3	5	0.0	80	12	5	80	12
▼ Internet Protocol Version 4	98.9	1680	2.4	33600	5425	0	0	0
▼ User Datagram Protocol	96.1	1632	0.9	13056	2108	0	0	0
▼ Data	96.0	1630	94.1	1293198	208 k	1630	1293198	208 k
▼ ADwin configuration protocol	0.1	2	0.0	152	24	2	152	24
▼ Open Shortest Path First	1.5	25	0.1	1100	177	25	1100	177
▼ Internet Control Message Protocol	1.4	23	0.7	8941	1443	23	8941	1443
▼ Address Resolution Protocol	0.4	6	0.0	168	27	6	168	27

Figura 25: Protocolos envolvidos no Unicast

Cenário Multicast

Para simular o cenário de multicasting foi criada uma nova topologia de rede. De notar que a nova topologia coloca todos os dispositivos, clientes e servidor, dentro da mesma rede local.

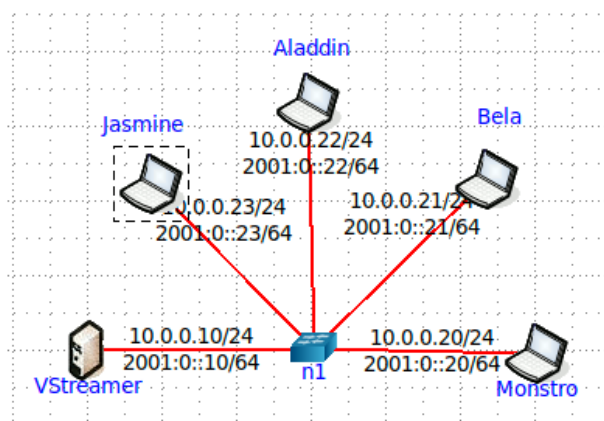


Figura 26: Topologia de Rede Multicast

Para testar a nova topologia de rede, o grupo fez um teste de conectividade e verificou que estava tudo operacional.

```
root@VStreamer:/tmp/pycore.45769/VStreamer.conf# ping 10.0.0.22
PING 10.0.0.22 (10.0.0.22) 56(84) bytes of data:
64 bytes from 10.0.0.22: icmp_seq=1 ttl=64 time=0.120 ms
64 bytes from 10.0.0.22: icmp_seq=2 ttl=64 time=0.068 ms
64 bytes from 10.0.0.22: icmp_seq=3 ttl=64 time=0.042 ms
64 bytes from 10.0.0.22: icmp_seq=4 ttl=64 time=0.037 ms
64 bytes from 10.0.0.22: icmp_seq=5 ttl=64 time=0.063 ms
64 bytes from 10.0.0.22: icmp_seq=6 ttl=64 time=0.048 ms
```

Figura 27: Teste de Conetividade da Rede Multicast

De seguida iniciou-se o streaming de dados em Multicast, sendo a Figura 28 o tráfego capturado na saída do VStreamer.

No.	Time	Source	Destination	Protocol	Length	Info
3652	104.389307080	19.0.0.10	224.0.0.200	MP4V-ES	1514	PT-MP4V-ES, SSRC=0x7f7d9800, Seq=5533, Time=440838306
3653	104.389338444	19.0.0.10	224.0.0.200	MP4V-ES	1514	PT-MP4V-ES, SSRC=0x7f7d9800, Seq=5534, Time=440838306
3654	104.389376291	19.0.0.10	224.0.0.200	MP4V-ES	1145	PT-MP4V-ES, SSRC=0x7f7d9800, Seq=5535, Time=440838306, Mark
3655	104.381506977	19.0.0.10	224.0.0.200	MP4V-ES	14	PT-MP4V-ES, SSRC=0x7f7d9800, Seq=5536, Time=440838306, Mark
3656	104.402647451	19.0.0.10	224.0.0.200	MP4V-ES	92	PT-MP4V-ES, SSRC=0x7f7d9800, Seq=5537, Time=440838306, Mark
3657	104.460897863	19.0.0.10	224.0.0.200	MP4V-ES	244	PT-MP4V-ES, SSRC=0x7f7d9800, Seq=5538, Time=440838306, Mark
3658	104.56357965	19.0.0.10	224.0.0.200	MP4V-ES	116	PT-MP4V-ES, SSRC=0x7f7d9800, Seq=5539, Time=440838306, Mark
3659	104.559639571	19.0.0.10	224.0.0.200	MP4V-ES	93	PT-MP4V-ES, SSRC=0x7f7d9800, Seq=5540, Time=440838306, Mark
3660	104.604975628	19.0.0.10	224.0.0.200	MP4V-ES	1514	PT-MP4V-ES, SSRC=0x7f7d9800, Seq=5541, Time=440838306
3661	104.605025597	19.0.0.10	224.0.0.200	MP4V-ES	1514	PT-MP4V-ES, SSRC=0x7f7d9800, Seq=5542, Time=440838306
3662	104.605031087	19.0.0.10	224.0.0.200	MP4V-ES	1514	PT-MP4V-ES, SSRC=0x7f7d9800, Seq=5543, Time=440838306
3663	104.60503586	19.0.0.10	224.0.0.200	MP4V-ES	1514	PT-MP4V-ES, SSRC=0x7f7d9800, Seq=5544, Time=440838306
3664	104.605043188	19.0.0.10	224.0.0.200	MP4V-ES	1514	PT-MP4V-ES, SSRC=0x7f7d9800, Seq=5545, Time=440838306
3665	104.605048838	19.0.0.10	224.0.0.200	MP4V-ES	1514	PT-MP4V-ES, SSRC=0x7f7d9800, Seq=5546, Time=440838306
3666	104.605042478	19.0.0.10	224.0.0.200	MP4V-ES	1215	PT-MP4V-ES, SSRC=0x7f7d9800, Seq=5547, Time=440838306
3667	104.656649499	19.0.0.10	224.0.0.200	MP4V-ES	109	PT-MP4V-ES, SSRC=0x7f7d9800, Seq=5548, Time=440838306, Mark
3668	104.707887111	19.0.0.10	224.0.0.200	MP4V-ES	91	PT-MP4V-ES, SSRC=0x7f7d9800, Seq=5549, Time=440838306, Mark
3669	104.758981352	19.0.0.10	224.0.0.200	MP4V-ES	109	PT-MP4V-ES, SSRC=0x7f7d9800, Seq=5550, Time=440838306, Mark
3670	104.803841855	19.0.0.10	224.0.0.200	MP4V-ES	109	PT-MP4V-ES, SSRC=0x7f7d9800, Seq=5551, Time=440838306, Mark
3671	104.855661553	19.0.0.10	224.0.0.200	MP4V-ES	109	PT-MP4V-ES, SSRC=0x7f7d9800, Seq=5552, Time=440838306, Mark
3672	104.907583224	19.0.0.10	224.0.0.200	MP4V-ES	111	PT-MP4V-ES, SSRC=0x7f7d9800, Seq=5553, Time=440838306, Mark
3673	104.949366603	19.0.0.10	224.0.0.200	MP4V-ES	109	PT-MP4V-ES, SSRC=0x7f7d9800, Seq=5554, Time=440838306, Mark
3674	105.002602732	19.0.0.10	224.0.0.200	MP4V-ES	109	PT-MP4V-ES, SSRC=0x7f7d9800, Seq=5555, Time=440838306, Mark
3675	105.055811661	19.0.0.10	224.0.0.200	MP4V-ES	109	PT-MP4V-ES, SSRC=0x7f7d9800, Seq=5556, Time=440838306, Mark
3676	105.107772742	19.0.0.10	224.0.0.200	MP4V-ES	109	PT-MP4V-ES, SSRC=0x7f7d9800, Seq=5557, Time=440838306, Mark
3677	105.149311368	19.0.0.10	224.0.0.200	MP4V-ES	109	PT-MP4V-ES, SSRC=0x7f7d9800, Seq=5558, Time=440838306, Mark
3678	105.206582856	19.0.0.10	224.0.0.200	MP4V-ES	1514	PT-MP4V-ES, SSRC=0x7f7d9800, Seq=5559, Time=440838306, Mark
3679	105.206622787	19.0.0.10	224.0.0.200	MP4V-ES	1514	PT-MP4V-ES, SSRC=0x7f7d9800, Seq=5560, Time=440838306, Mark
3680	105.206639819	19.0.0.10	224.0.0.200	MP4V-ES	1514	PT-MP4V-ES, SSRC=0x7f7d9800, Seq=5561, Time=440838306, Mark
3681	105.206639887	19.0.0.10	224.0.0.200	MP4V-ES	1514	PT-MP4V-ES, SSRC=0x7f7d9800, Seq=5562, Time=440838306, Mark
3682	105.206639887	19.0.0.10	224.0.0.200	MP4V-ES	1514	PT-MP4V-ES, SSRC=0x7f7d9800, Seq=5563, Time=440838306, Mark
3683	105.206644506	19.0.0.10	224.0.0.200	MP4V-ES	1514	PT-MP4V-ES, SSRC=0x7f7d9800, Seq=5564, Time=440838306, Mark
3684	105.206649474	19.0.0.10	224.0.0.200	MP4V-ES	1216	PT-MP4V-ES, SSRC=0x7f7d9800, Seq=5565, Time=440838306, Mark
3685	105.252026639	19.0.0.10	224.2.127.254	SAP/SDP	366	Announcement (v1)
3686	105.252026639	19.0.0.10	224.0.0.200	MP4V-ES	109	PT-MP4V-ES, SSRC=0x7f7d9800, Seq=5566, Time=440838306, Mark
3687	105.304691854	19.0.0.10	224.0.0.200	MP4V-ES	109	PT-MP4V-ES, SSRC=0x7f7d9800, Seq=5567, Time=440838306, Mark
3688	105.35909393	19.0.0.10	224.0.0.200	RTCP	70	Sender Report
3689	105.359047116	19.0.0.10	224.0.0.200	MP4V-ES	109	PT-MP4V-ES, SSRC=0x7f7d9800, Seq=5568, Time=440838306, Mark
3690	105.406092019	19.0.0.10	224.0.0.200	MP4V-ES	109	PT-MP4V-ES, SSRC=0x7f7d9800, Seq=5569, Time=440838306, Mark
3691	105.452572866	19.0.0.10	224.0.0.200	MP4V-ES	109	PT-MP4V-ES, SSRC=0x7f7d9800, Seq=5570, Time=440838306, Mark
3692	105.505535360	19.0.0.10	224.0.0.200	MP4V-ES	109	PT-MP4V-ES, SSRC=0x7f7d9800, Seq=5571, Time=440838306, Mark
3693	105.553589775	19.0.0.10	224.0.0.200	MP4V-ES	109	PT-MP4V-ES, SSRC=0x7f7d9800, Seq=5572, Time=440838306, Mark
3694	105.601327088	19.0.0.10	224.0.0.200	MP4V-ES	109	PT-MP4V-ES, SSRC=0x7f7d9800, Seq=5573, Time=440838306, Mark
3695	105.655299039	19.0.0.10	224.0.0.200	MP4V-ES	109	PT-MP4V-ES, SSRC=0x7f7d9800, Seq=5574, Time=440838306, Mark
3696	105.707427337	19.0.0.10	224.0.0.200	MP4V-ES	109	PT-MP4V-ES, SSRC=0x7f7d9800, Seq=5575, Time=440838306, Mark
3697	105.749440820	19.0.0.10	224.0.0.200	MP4V-ES	109	PT-MP4V-ES, SSRC=0x7f7d9800, Seq=5576, Time=440838306, Mark
3698	105.801266122	19.0.0.10	224.0.0.200	MP4V-ES	1514	PT-MP4V-ES, SSRC=0x7f7d9800, Seq=5577, Time=440838306, Mark
3699	105.801311332	19.0.0.10	224.0.0.200	MP4V-ES	1514	PT-MP4V-ES, SSRC=0x7f7d9800, Seq=5578, Time=440838306, Mark
3700	105.801318024	19.0.0.10	224.0.0.200	MP4V-ES	1514	PT-MP4V-ES, SSRC=0x7f7d9800, Seq=5579, Time=440838306, Mark
3701	105.801321163	19.0.0.10	224.0.0.200	MP4V-ES	1514	PT-MP4V-ES, SSRC=0x7f7d9800, Seq=5580, Time=440838306, Mark
3702	105.801329334	19.0.0.10	224.0.0.200	MP4V-ES	1514	PT-MP4V-ES, SSRC=0x7f7d9800, Seq=5581, Time=440838306, Mark
3703	105.801334483	19.0.0.10	224.0.0.200	MP4V-ES	1514	PT-MP4V-ES, SSRC=0x7f7d9800, Seq=5582, Time=440838306, Mark

Figura 28: Captura Wireshark do VStreamer em Unicast

Como é possível ver na Figura 29, no cenário Multicast não se cria um fluxo de dados com o cliente-alvo, mas sim uma transmissão para um endereço de grupo, do qual vários clientes podem “escutar”.

Na Figura 30 é possível ver os protocolos envolvidos na transmissão Multicast, sendo utilizado o protocolo de transporte UDP com SAP (Session Announcement Protocol) e RTP (Real-time Transport Protocol) / RTCP (RTP Control Protocol).

Address A	Port A	Address B	Port B	Packets	Bytes	Packets A → B	Bytes A → B	Packets B → A	Bytes B → A	Rel Start	Duration	Bits/s A → B	Bits/s B → A
10.0.0.10	52725	224.0.0.200	5555	4229	3703 k	4229	3703 k	0	0	0.000000	124.5560	237 k	0
10.0.0.10	54546	224.2.127.254	9875	24	8784	24	8784	0	0	0.000000	115.4868	116	0
10.0.0.10	52726	224.0.0.200	5556	24	1680	24	1680	0	0	0.000000	115.6005	116	0
10.0.0.10	52727	224.0.0.200	5553	1	107	1	107	0	0	0.000000	0.0000	—	—
10.0.0.10	52728	224.0.0.200	5553	1	107	1	107	0	0	0.000000	0.0000	—	—

Figura 29: Fluxos Gerados em Multicast

Protocol	Percent Packets	Packets	Percent Bytes	Bytes	Bits/s	End Packets	End Bytes	End Bits/s
Frame	100.0	4303	1.6	60242	3869	0	0	0
Ethernet	100.0	4303	1.6	60242	3869	0	0	0
Internet Protocol Version 6	0.2	8	0.0	320	20	0	0	0
User Datagram Protocol	0.0	2	0.0	16	1	0	0	0
Multicast Domain Name System	0.0	2	0.0	90	5	2	90	5
Internet Control Message Protocol v6	0.1	6	0.0	96	6	6	96	6
Internet Protocol Version 4	99.8	4295	2.3	95972	5521	0	0	0
User Datagram Protocol	99.4	4277	0.9	34216	2197	0	0	0
Session Announcement Protocol	0.6	24	0.2	7776	499	0	0	0
Session Description Protocol	0.6	24	0.2	7776	499	0	0	0
Real-Time Transport Protocol	93.8	4038	89.9	3341012	214 k	0	0	0
MP4V-ES	93.8	4038	89.9	3341012	214 k	0	0	0
Real-Time Transport Control Protocol	0.6	24	0.0	672	43	24	672	43
Data	4.4	190	5.0	185176	11 k	190	185176	11 k
Ad-hoc configuration protocol	0.0	1	0.0	52	3	1	52	3
Internet Group Management Protocol	0.4	18	0.0	304	19	18	304	19

Figura 30: Protocolos envolvidos no Multicast

O grupo testou o cenário multicast até quatro clientes em simultaneo, como se vê na Figura 31. E como se verifica na Figura 29, a quantidade de fluxos gerados não aumentou proporcionalmente

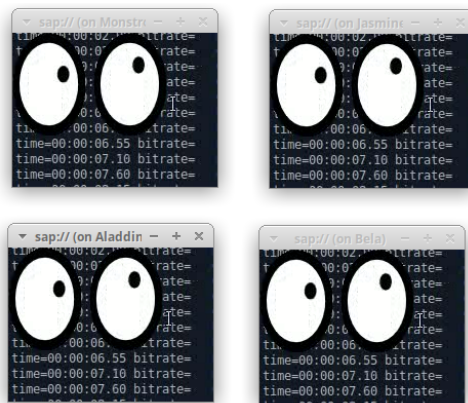


Figura 31: Clientes em transmissão Multicast

Questão 5 - Compare o cenário unicast aplicado com o cenário multicast. Mostre vantagens e desvantagens na solução multicast ao nível da rede, no que diz respeito a escalabilidade (aumento do nº de clientes) e tráfego na rede. Tire as suas conclusões.

Cenário Unicast:

No cenário unicast, cada pacote de dados é enviado individualmente de uma fonte para um destino específico. Isso significa que, se houver múltiplos clientes para os mesmos dados, a fonte terá que enviar uma cópia separada para cada cliente.

Vantagens:

- **Precisão:** Cada destinatário recebe exatamente o que precisa, e não mais. Isso é útil quando a precisão é crítica, como em videoconferências ou transferências de arquivos privados.
- **Controle:** É fácil gerenciar e rastrear o tráfego de dados para cada destinatário, tornando-o adequado para redes pequenas ou com requisitos específicos de segurança.

Desvantagens:

- **Escalabilidade:** À medida que o número de clientes aumenta, o tráfego na rede cresce exponencialmente, já que cada destinatário recebe sua própria cópia dos dados. Isso pode sobrecarregar a rede e a fonte.
- **Ineficiência:** Consome largura de banda de forma ineficiente, especialmente quando há muitos destinatários para os mesmos dados, resultando em congestionamentos e latências.

Cenário Multicast:

No cenário multicast, um único pacote de dados é enviado para um grupo de destinatários que compartilham um interesse comum nos dados. Isso significa que a fonte envia apenas uma cópia dos dados, independentemente do número de clientes.

Vantagens:

- **Eficiência:** Reduz o tráfego na rede, já que apenas uma cópia dos dados é enviada, independentemente do número de destinatários. Isso economiza largura de banda e reduz o congestionamento da rede.
- **Escalabilidade:** É mais escalável do que o unicast, pois lida de forma eficiente com grupos grandes de clientes sem sobrecarregar a fonte ou a rede.
- **Tempo Real:** Útil para transmissões em tempo real, como streaming de vídeo, onde vários espectadores assistem ao mesmo conteúdo ao mesmo tempo.

Desvantagens:

- **Complexidade:** A implementação de multicast pode ser mais complexa do que o unicast, exigindo roteadores e switches que suportem multicast e configurações específicas de grupos.
- **Precisão Limitada:** Não é tão preciso quanto o unicast, já que todos os membros do grupo recebem os mesmos dados, independentemente de sua necessidade específica.

Concluindo, em termos de escalabilidade, o multicast tem uma vantagem clara, pois é mais eficiente ao lidar com um grande número de destinatários em comparação com o unicast. Para redes com necessidades de precisão e controle mais rígidos, o unicast pode ser preferível.

3 | Conclusões

Na Etapa 1, onde exploramos o Streaming HTTP Simple, observamos uma escalabilidade linear na largura de banda conforme o número de clientes aumenta. Contudo, ficou evidente que o protocolo utilizado não é altamente escalável devido à sua natureza orientada à conexão, o que implica a criação de novas portas para cada cliente, resultando em limitações.

Na Etapa 2, focamos no Streaming Adaptativo usando MPEG-DASH. Aqui, compreendemos que o streaming adaptativo desempenha um papel crucial, permitindo ajustar dinamicamente a qualidade do vídeo com base nas condições da rede e dos dispositivos dos usuários finais. O arquivo MPD (Media Presentation Description) revelou-se essencial, capacitando os clientes a fazer escolhas informadas sobre a qualidade do vídeo, proporcionando uma experiência de usuário otimizada.

Na Etapa 3, ao investigar o Streaming Unicast e Multicast, destacamos que o Multicast se destaca como uma solução altamente eficiente em termos de tráfego de rede e escalabilidade. Ao enviar apenas uma cópia dos dados para um grupo de destinatários, o Multicast oferece uma abordagem economicamente eficaz e escalável. No entanto, o Unicast permanece indispensável nos cenários onde a precisão e o controle são fundamentais, embora implique um consumo de largura de banda mais substancial.

Em síntese, cada abordagem de streaming oferece vantagens específicas, sendo a escolha entre elas influenciada pelos requisitos exclusivos de cada cenário. Este tipo de conclusões são fundamentais para se poder tomar decisões mais informadas em projetos de streaming futuros.